

А.А.КРАСНОВАЕВ, Г.П.КУЗНЕЦОВ, Б.А.КАЛЕГАНОВ

## СОСТАВ И ВОЗРАСТ ЛАМПРОИТОВ КИБАСОВСКОГО КОМПЛЕКСА

Первые находки высокомагнезиальных калиевых пород свидетельствуют о проявлении на южном Урале (куйбасовский комплекс, Магнитогорский район) лампроитового магматизма /3/. Поскольку лампроиты являются важнейшими представителями мантийных образований и потенциальными источниками алмазов, актуально сопоставление уральских разновидностей с типичными породами лампроитовой серии /1, 2/.

Петрохимия. В таблице и на рис. I-3 приведены краткие данные об исследованных образцах. По соотношению кремнезема и магнезиальности лампроиты куйбасовского комплекса (КК) укладываются в границы лампроитовой серии. Аналогичный вывод следует при использовании координат  $\text{SiO}_2 - (\text{K}_2\text{O} + \text{Na}_2\text{O})$  и  $\text{CaO}-\text{Al}_2\text{O}_3$ . Более детальный анализ позволяет выделить среди лампроитов КК группу основных разностей (Б,  $\text{SiO}_2$  48–52,  $\text{K}_2\text{O}+\text{Na}_2\text{O}$  6,1–8,4%, обр. I, 4–12), которая относится к умеренно-щелочным породам, и группу ультраосновных (А,  $\text{SiO}_2$  42–44,  $\text{K}_2\text{O}+\text{Na}_2\text{O}$  4,58–5,36%, обр. I3, I5 и I6), соответствующую щелочным породам (обр. 2, 3 и I4 – "промежуточные"). Отношение  $\text{K}_2\text{O}/\text{Na}_2\text{O}$  изменяется от 2 (обр. 2) до 15 (обр. I4), т.е. специфика щелочей – типично лампроитовая. Коэффициент агпантности  $K_A$  (0,6–1,1) указывает на миаскитовый тип лампроитов КК, причем для образцов 2, 3 и I4 он не превышает 0,5. Несмотря на то что к миаскитовому типу относятся знаменитые оливиновые лампроиты месторождения алмазов Аргайл (Австралия), а также лампроиты Прери-Крок, США, и Алдана, большая часть этих высокомагнезиальных калиевых пород соответствует агпантовым разностям ( $K_A < 1$ ). По содержанию  $\text{MgO}$  (II–I9, до 21%) лампроиты КК беднее австралийских (22–24%), но сопоставимы с лампроитами Антарктиды (8,55), Гондваны (15,5) и Испании (16,27%). Важнейшей геохимической характеристикой лампроитов является содержание титана, которое во многом зависит от геодинамического режима развития земной коры /2/. Лампроиты КК (0,6–0,8%  $\text{TiO}_2$ ) относятся к низкотитанистым (0,71–0,98%  $\text{TiO}_2$ ), что позволяет говорить об их связи с процессами активизации геосинклинально-складчатого основания. Проблема для Урала очевидная и нуждается в дальнейших исследованиях.

По содержанию ванадия (110–150 г/т) и хрома (470–1100 г/т) лампроиты КК сопоставимы с известными, причем группа ультраосновных разностей обогащена этими элементами по сравнению с основными. Отметим, что для лампроитов алданской провинции иногда наблюдается противоположная тенденция.

Соотношение лампроитов КК с другими магматическими породами иллюстрирует рис. I. В координатах  $\text{Rb}-\text{K}_2\text{O}$  проявляется два основных тренда для лампроитовой серии – с  $\text{K}/\text{Rb} < 200$  (провинции I, 2 и 4) и 250–400 (провинции 3, 5, 6–8). При этом первая группа лампроитов близка к генеральному тренду коровых гранитоидов, а вторая – базальтоидных. Промежуточное положение занимает большая часть лампроитов Алдана, причем обогащенность  $\text{Rb}$  и  $\text{K}$  основных лампроитов заметно выше, чем ультраосновных. Иная ситуация с лампроитами КК: основные разности несколько обеднены  $\text{Rb}$  и обогащены  $\text{K}$  (по сравнению с ультра-

Характеристика лампроитов куйбасовского комплекса

№ п/п	Образец	Привязка	K, %	$^{40}\text{Ar}_\text{D}$ , нг/Г	T, млн лет
<u>Участок Мал. Куйбас</u>					
I	Оливин-флогопитовый, с пироксеном, амфиболом	Скв. I93I, гл. 858 м	5,55	122	292
2	Оливин-амфибол-флогопитовый	Скв. I93I, гл. I030 м	2,61	48,6	250
3	Оливин-флогопитовый	Скв. I933, гл. 83 м	2,05	36,6	240
4	-"-	Скв. I938, гл. 485 м	4,20	76,1	244
5	-"-	Скв. I944, гл. I052 м	4,54	88,0	260
6	То же, с лейцитом, канкринитом	Скв. I944, гл. I063 м	4,85	95,2	263
7	Оливин-флогопитовый	Скв. I044, гл. I067 м	5,25	106	270
8	То же, с канкринитом	Скв. I044, гл. I070 м	4,87	100	275
9	Оливин-флогопитовый	Скв. I044, гл. I074 м	5,18	106	275
10	То же, с лейцитом	Скв. I044, гл. I078 м	5,68	125	293
II	Оливин-флогопитовый	Скв. I044, гл. II49 м	4,49	90,5	271
I2	То же, с псевдолейцитом	Скв. I048, гл. II50 м	4,47	89,4	268
I3	Оливин-флогопитовый	Скв. I048, гл. I052 м	3,60	65,8	246
I4	-"-	Скв. I050, гл. 925 м	2,67	48,9	247
<u>Куйбасовский карьер</u>					
I5	-"-	Жила М	3,57	68,4	256
I6	-"-	Жила К	3,95	75,3	256

П р и м е ч а н и е. Радиогенетный аргон определялся методом изотопного разбавления с трассером  $^{38}\text{Ar}$ , калий - методом фотометрии пламени; погрешность датировок - не более 8 млн лет.

основными) и потому оказываются (вместе с образцами 2,3 и I4) в секторе с более высокими K/Rb отношениями (500-700). Для мантии же средняя величина этого отношения составляет 513 /2/. Экстраполяция тренда основных лампроитов (группа Б) к нулевой точке допускает существование безрубидиевых калиевых пород, что, видимо, отражает более "мантийную" природу калия по сравнению с более "коровой" рубидия.

Щелочная природа лампроитов показана на рис. I,б, причем на общем фоне образцы КК максимально приближены к линии КЛ, образуя при этом собственный тренд. Исключением можно считать обр. 2 и 3, попадающие в область толеитовых континентальных магм повышенной щелочности вместе с некоторыми разностями ультраосновных лампроитов Алданской провинции. "Секущее" положение группы основных лампроитов КК относительно основных трендов лампроитового магматизма аналогично установленному для восточной части Балтийского щита /4/.

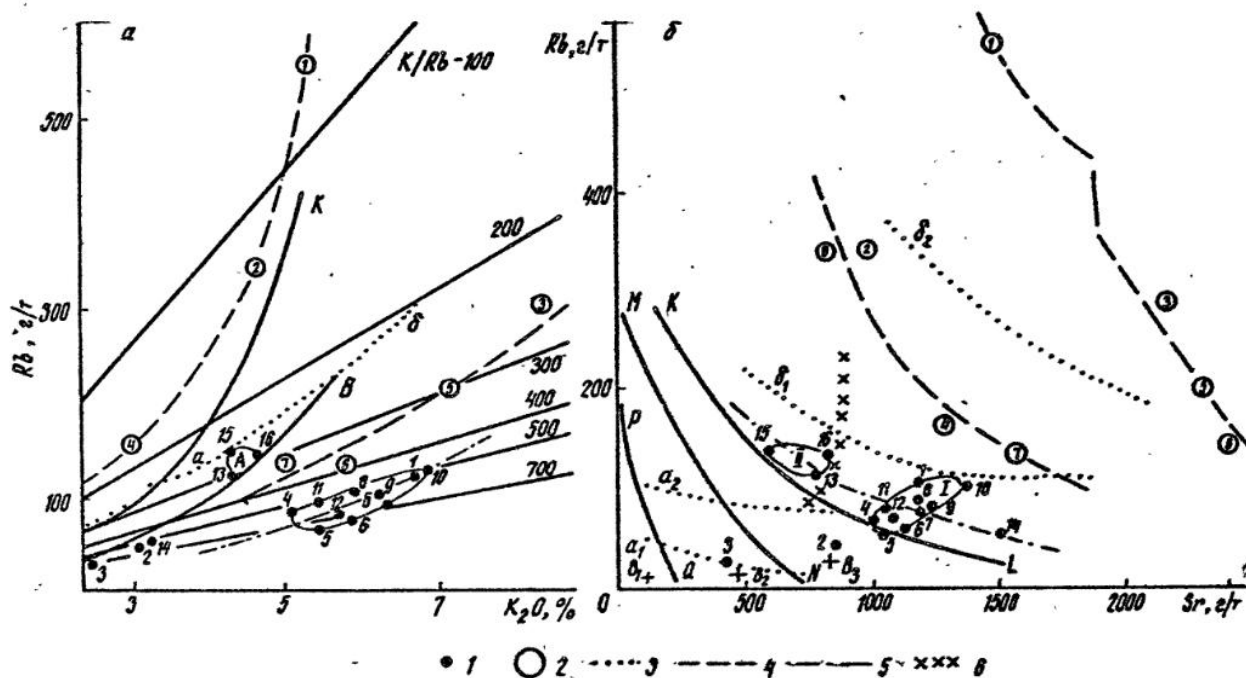


Рис. I. Диаграммы Rb-K<sub>2</sub>O (а) и Rb-Sr (б) для лампроитов и других магматических пород.

I - лампроиты куйбасовского комплекса (см.таблицу), 2 - лампроитовые провинции (цифры на рисунке): I,2 - Зап. Австралия (I - Эллендейл, 2 - Аргайл), 3 - Пристли-Пик, Антарктида, 4 - Прери-Крик, США, 5 - Лейцит-Хиллс, США, 6 - Гондвана, Индия, 7 - Испания, 8 - Италия; 3-6 - тренды лампроитового магматизма: 3 - Алдана, в том числе ультраосновные (а, а<sub>1</sub> и а<sub>2</sub>) и основные (б, б<sub>1</sub> и б<sub>2</sub>), нижнемеловые (а<sub>1</sub>, б<sub>1</sub>) и верхнемеловые (а<sub>2</sub>, б<sub>2</sub>), 4 - мира, 5 - Урала, 6 - восточной части Балтийского щита /5/. К и В - генеральные тренды гранитоидов корового и базальтоидного происхождения; поля магм: РОQ - толеитовой океанической, QPMN - толеитовой континентальной и островодужной, NMKL - орогенной андезитовой, толеитовой, толеитовой повышенной щелочности, латитовой; выше линии KL - латитовой щелочно-базальтовой. В<sub>1</sub>, В<sub>2</sub>, В<sub>3</sub> - средние составы толеитов океанического, континентального и щелочного базальта /4/

Отмеченные особенности состава лампроитов КК - соответствие миаскитовому типу, пониженные щелочность, содержания MgO и Ti, высокие K/Rb отношения, обогащенность Sr ультраосновных разностей - можно рассматривать как проявление "провинциальности", характерной в том или ином виде и для остальных лампроитов мира /2/.

Геохронология. Оценить достоверность приведенных в /3/ датировок лампроитов КК Rb-Sr-методом (197-203 млн лет) не представляется возможным из-за отсутствия аналитических данных и информации о методах расчета. Наша попытка применить Rb-Sr-метод для определения возраста лампроитов КК оказалась неудачной, так как вариации изотопных отношений были слишком малы для построения изохронных моделей. Был использован K-Ag-метод, чему благоприятствовали

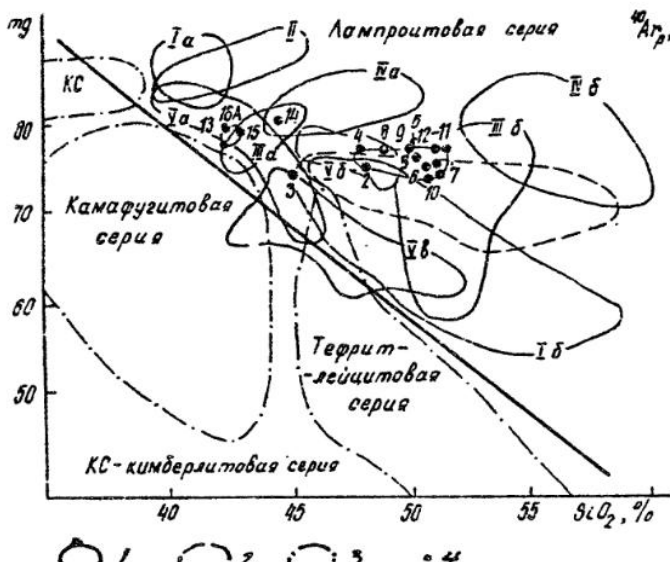


Рис. 2. Соотношение  $\text{SiO}_2$  и магнезиальности в лампроитах и других калиевых породах /2/.

I-3 – поля составов пород: I – лампроитов, 2 – минетт Навойо и Колорадо, США, 3 – кимберлитов, камафуцитов, лейцитов, 4 – лампроитов куйбасовского комплекса (номера проб – см. таблицу).

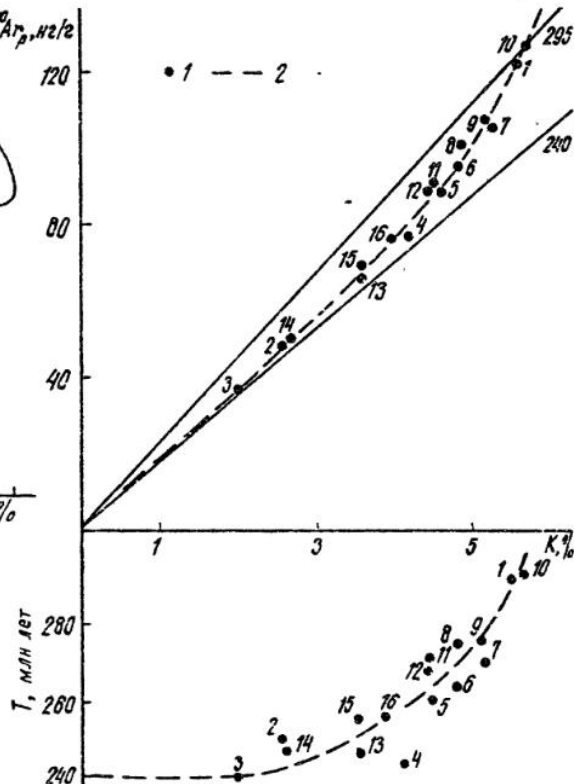
A – ультраосновные,

Б – основные.

I – I – лампроиты провинций: I, II – Западно-Австралийской (Ia – ультраосновные, Ib – основные и средние Западного Кимберли, II – ультраосновные трубы Аргайл, Восточное Кимберли), III – Северо-Американской (IIIa – основной – мадупит, IIIb – основной и средний лампроит – вайомингит, орендит), IV – Юго-Восточной Испании (IVa – основной, IVb – средние лампроиты – канкалит, фортуниит, верит), V – Алданской (Va, b – ультраосновные и основные лампроиты Центрального Алдана верхнеурского: Vb – нижненемелового возраста, Vb – основные Западного Алдана – Мурун, Молбо), VI – интрузивные породы лампроитовой серии Восточного Алдана (Ломамский массив)

Рис. 3. Калий-argonовые системы лампроитов куйбасовского комплекса (см. таблицу).

1 – экспериментальные данные, 2 – тренд лампроитов (240 и 295 – пределы модельных датировок, млн лет)



высокие содержания калия в образцах и значительные их вариации (2,05–5,68%; см. таблицу и рис. 3). Найденные значения модельных возрастов оказались дискордантными и нуждаются в интерпретации. В первую очередь следует обратить внимание на приуроченность максимальных возрастов к высококалиевым образцам, хотя все образцы образуют единый тренд, с дискретным положением групп А и Б.

Этот факт можно связать с тем, что большая часть исследованных образцов представлена оливин-флогопитовыми разностями, т.е. калийсодержащим минералом в основном является флогопит, а другие минералы - пироксен, амфибол, лейцит, санидин, смектиты, некоторые титаносиликаты - в балансе калия играют второ - степенную роль.

Первый вариант интерпретации предполагает присутствие среди крупных вкрапленников флогопита интрапеллурических фенокристаллов (подобных крупным вкрапленникам оливина), которые ранее отмечались в некоторых разностях лам - проитов Испании и Лейцит-Хиллс, США /2/. Другая разновидность флогопита в исследованных образцах представлена микровкрапленниками матрикса, и именно они должны наиболее полно соответствовать этапу кристаллизации лампроитов. Предполагая, что в никакалиевых образцах доля интрапеллурических фенокристаллов флогопита была минимальной и экстраполируя данные на рис. 3 в область нулевых содержаний калия, приходим к выводу о возрасте кристаллизации около 240 млн лет.

Второе возможное объяснение результатов предполагает интенсивные авто - метасоматические изменения минеральных парагенезисов лампроитов и появление новых (вторичных) калийсодержащих минералов (смектитов, санидина). Этот процесс неизбежно сопровождался потерей части радиогенного аргона, особенно интенсивной у микровкрапленников флогопита, лейцита, калийсодержащих титаносиликатов. Крупные же вкрапленники флогопита испытывали меньшие потери радиогенного аргона. Такая интерпретация данных на рис. 3 также приводит к возрасту лампроитов КК около 240 млн лет, что позволяет говорить о послепермском (среднетриасовом) проявлении лампроитового магматизма на Южном Урале. Такой вывод нельзя считать окончательным; необходимы дальнейшие исследования с использованием монофракций и привлечением других методов датирования.

Находки лампроитов куйбасовского комплекса являются не только важнейшим признаком завершающих этапов становления складчатой системы Урала, но и прямым указателем для поиска коренных источников алмазов. Можно также утверждать, что к восьми /2/ известным лампроитовым провинциям мира (Алданская, Западно-Австралийская, Северо-Американская, Африканская, Индийская, Западно-Средиземноморская, Британская и Бразильская) добавляется девятая - Уральская.

#### Список литературы

1. Богатиков О.А., Махоткин И.Л., Кононова В.А. Лампроиты и их место в систематике высокомагнезиальных калиевых пород // Изв. АН СССР. Сер. геол. 1985. № 12. С.3-10.
2. Богатиков О.А., Рябчикова И.Д., Кононова В.А. и др. Лампроиты. М.: Наука, 1991.
3. Лукьянова Л.И., Мареичев А.М., Машак И.М. и др. Первые находки проявлений лампроитового магматизма на Южном Урале // Докл. РАН. 1992. Т.324, № 6. С.1261-1264.
4. Прокуряков В.В., Увадьев Л.И. Лампроиты восточной части Балтийского щита // Изв. РАН. Сер. геол. 1992. № 8. С.65-75.
5. Ферштатер Г.Б. Петрология главных интрузивных ассоциаций. М.: Наука, 1987.